

図 19. 遠地震に関する地震波干渉法の適用概念図。

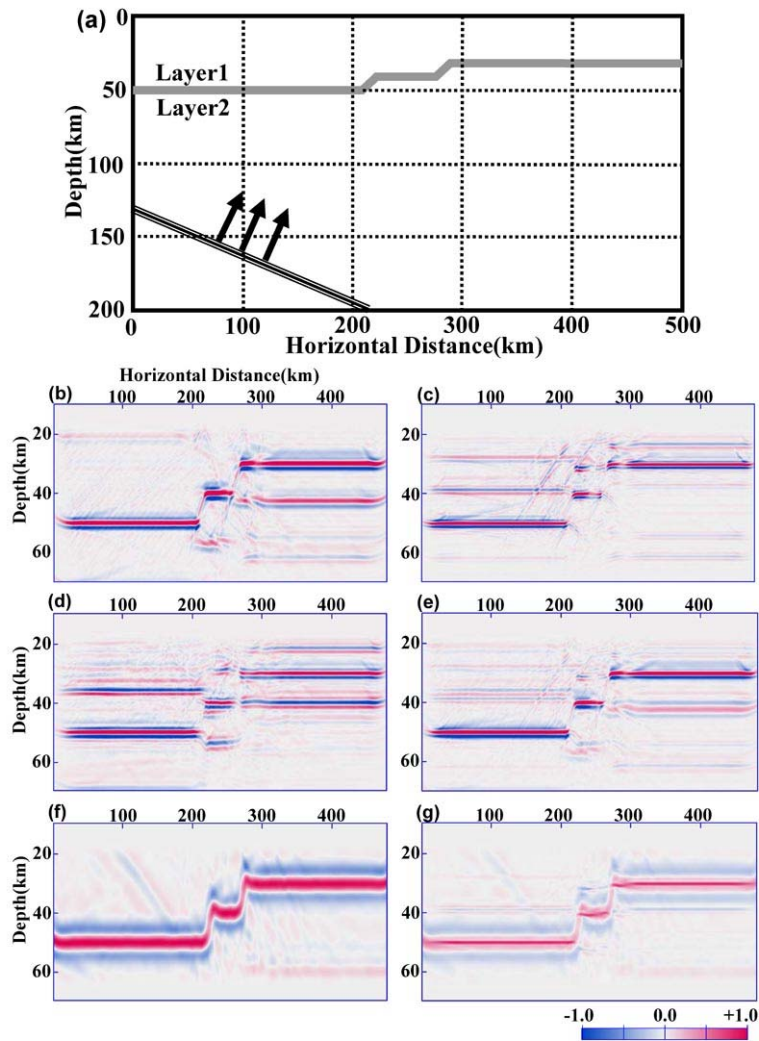


図 20. 合成地震記録に関する地震波干渉法及びレイシーバ関数法比較図²³⁾。

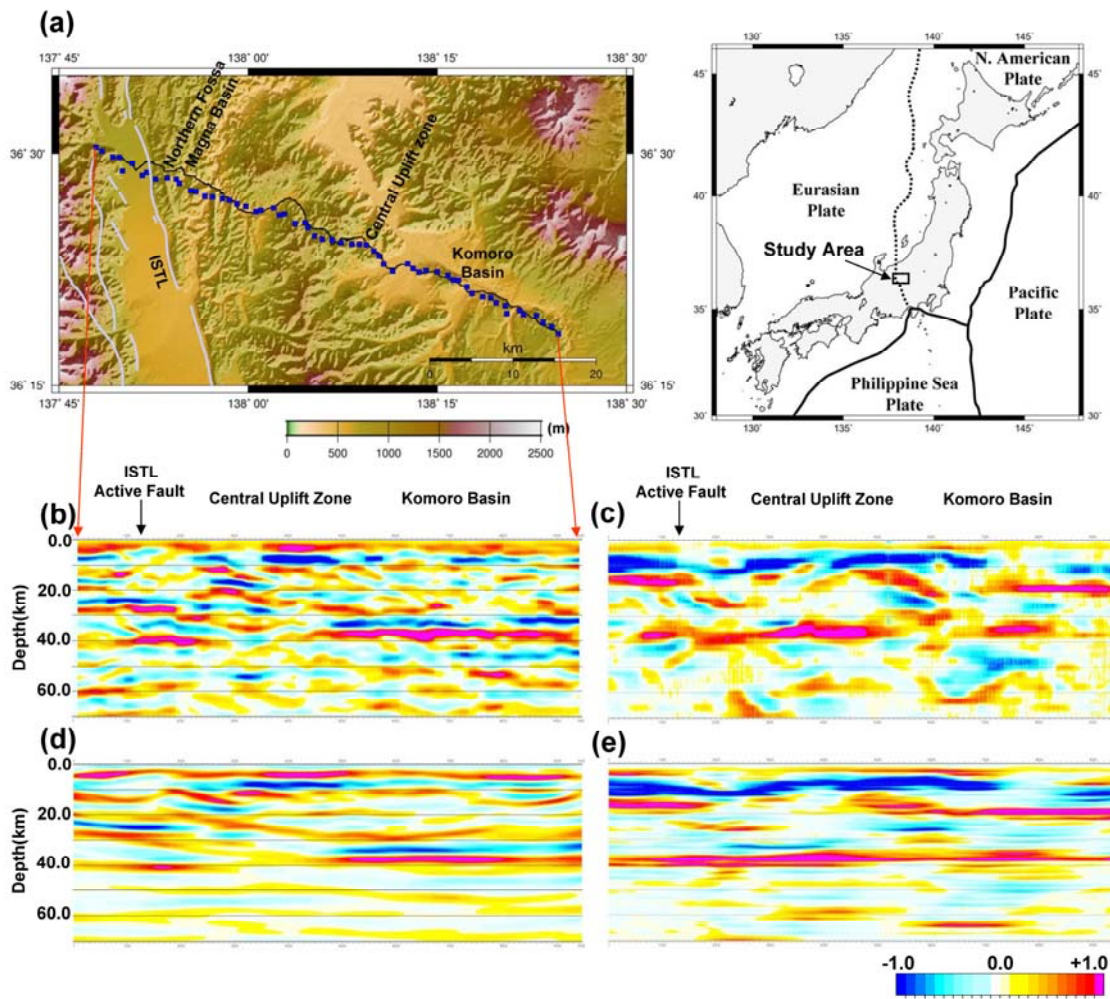


図 21. 遠地地震を用いた地震波干渉法及びレシーバ関数法のプロファイル比較図²³⁾
 (a) 調査測線位置図、(b) 地震波干渉法による CMP 重合断面図、(c) Ps レシーバ関数
 による CCP 重合断面図、(d) 地震波干渉法による重合前深度マイグレーション断面図、(e)
 Ps レシーバ関数による重合前深度マイグレーション断面図。

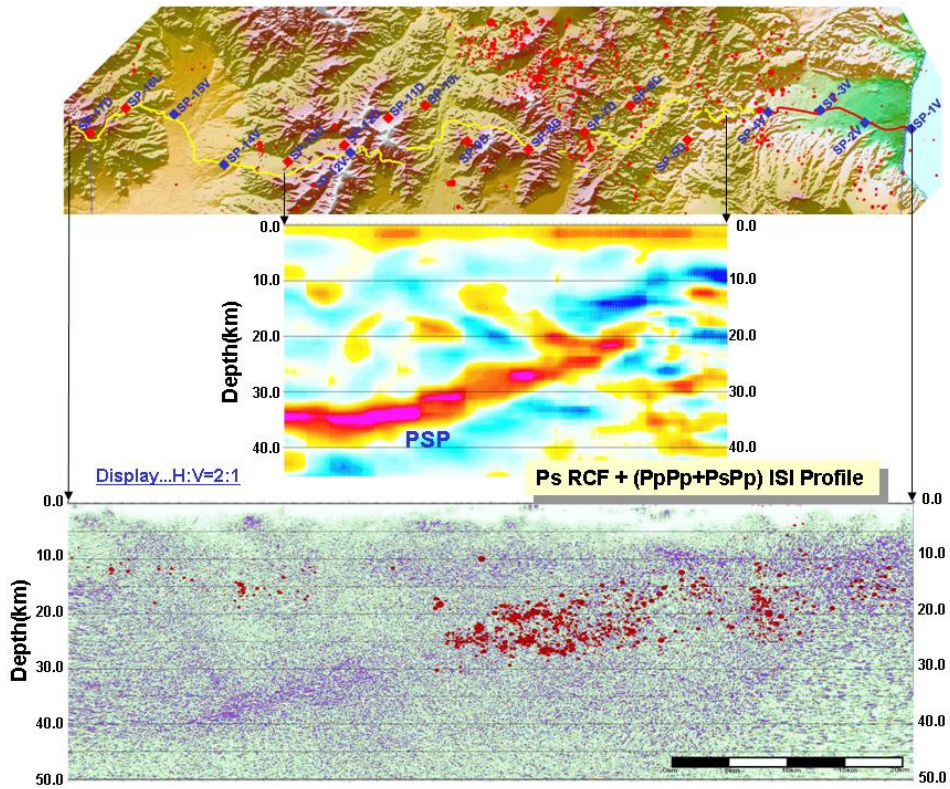


図 22. 制御震源と自然地震による小田原-山梨測線プロファイル比較対応図。

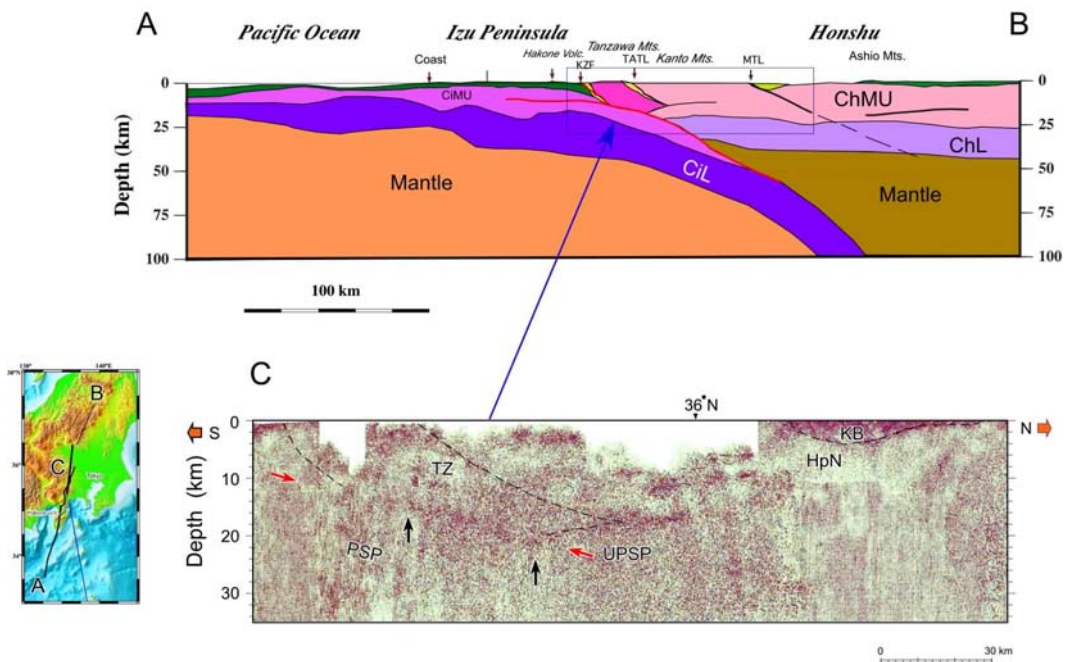


図 23. 関東山地東縁測線プロファイル (13)、24)、25)、26)を基に作成)。

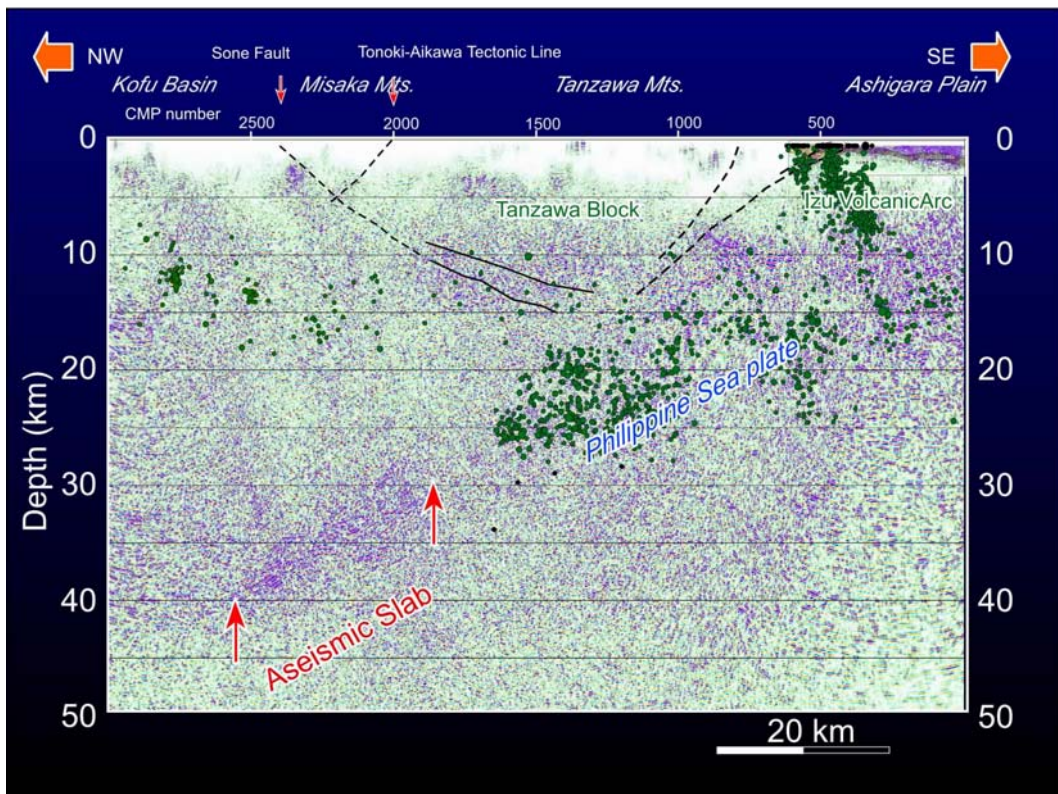


図 24. 制御震源による小田原-山梨測線プロファイルと地震分布対比図。

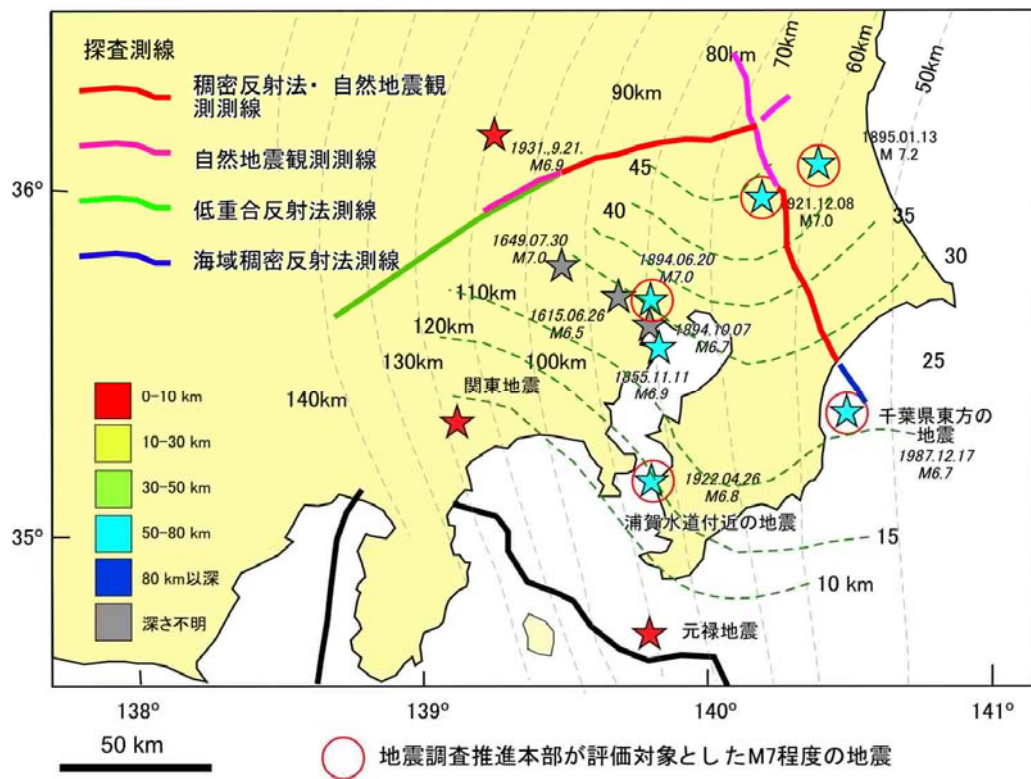


図 25. 首都圏直下減災プロジェクトにおける制御震源による統合地震探査測線。

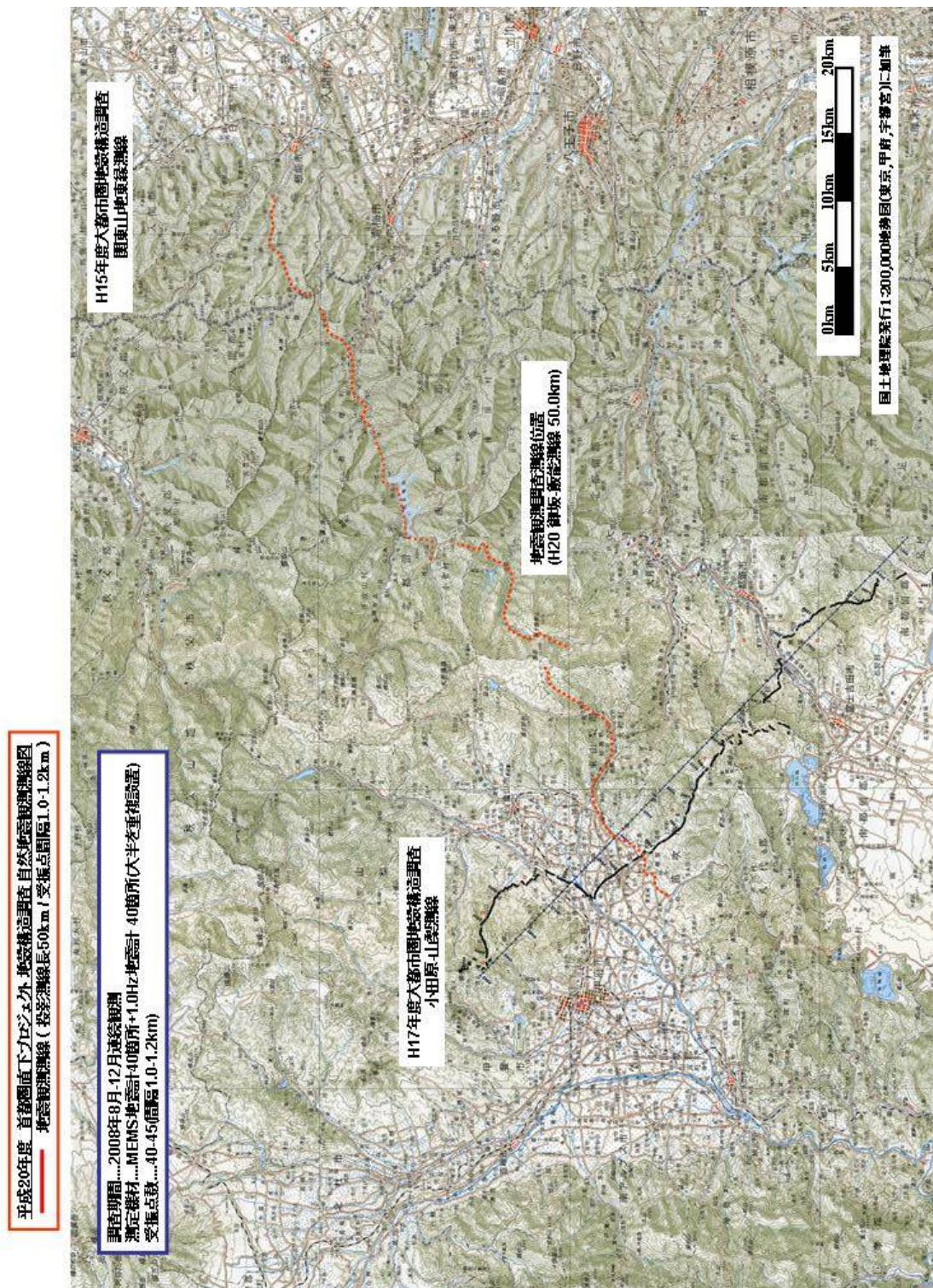


図 26. 平成 20 年度自然地震アレイ観測測線。